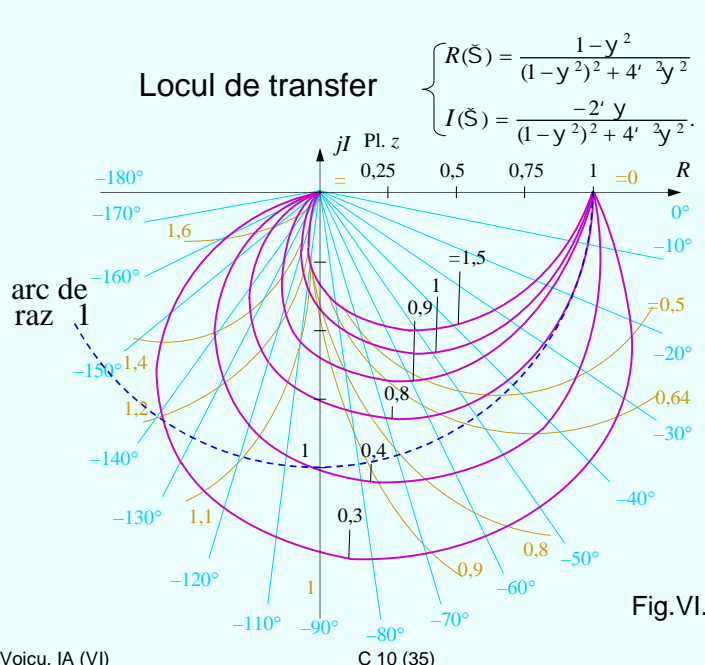


c) Elementul de întârziere de ordinul 2 (T_2)

$$G(s) = \frac{\tilde{S}_n^2}{s^2 + 2' \tilde{S}_n s + \tilde{S}_n^2}.$$

Pentru $s = j\omega$ se obține răspunsul la frecvență :

$$\begin{aligned} G(j\tilde{S}) &= \frac{\tilde{S}_n^2}{\tilde{S}_n^2 - \tilde{S}^2 + j2' \tilde{S}_n \tilde{S}} = \frac{1}{1 - y^2 + j2' y}, \quad y = \frac{\tilde{S}}{\tilde{S}_n}, \\ R(\tilde{S}) &= \frac{\tilde{S}_n^2(\tilde{S}_n^2 - \tilde{S}^2)}{(\tilde{S}_n^2 - \tilde{S}^2)^2 + 4' \tilde{S}_n^2 \tilde{S}^2} = \frac{1 - y^2}{(1 - y^2)^2 + 4' y^2} \\ I(\tilde{S}) &= \frac{-2' \tilde{S}_n^3 \tilde{S}}{(\tilde{S}_n^2 - \tilde{S}^2)^2 + 4' \tilde{S}_n^2 \tilde{S}^2} = \frac{-2' y}{(1 - y^2)^2 + 4' y^2}. \end{aligned}$$



$$G(j\tilde{S}) = \frac{\tilde{S}_n^2}{\tilde{S}_n^2 - \tilde{S}^2 + j2' \tilde{S}_n \tilde{S}} = \frac{1}{1 - y^2 + j2' y}, \quad y = \frac{\tilde{S}}{\tilde{S}_n}$$

$$\begin{cases} M(\tilde{S}) = |G(j\tilde{S})| = \frac{\tilde{S}_n^2}{\sqrt{(\tilde{S}_n^2 - \tilde{S}^2)^2 + 4' \tilde{S}_n^2 \tilde{S}^2}} = \frac{1}{\sqrt{(1-y^2)^2 + 4' y^2}} \\ \{\tilde{S}\} = \arg G(j\tilde{S}) = -\arctg \frac{2' \tilde{S}_n \tilde{S}}{\tilde{S}_n^2 - \tilde{S}^2} = -\arctg \frac{2' y}{1-y^2}. \end{cases}$$

Diagrama Bode

$$\begin{cases} A_{dB}(\tilde{S}) = 20 \lg M(\tilde{S}) = 20 \lg \frac{\tilde{S}_n^2}{\sqrt{(\tilde{S}_n^2 - \tilde{S}^2)^2 + 4' \tilde{S}_n^2 \tilde{S}^2}} = 20 \lg \frac{1}{\sqrt{(1-y^2)^2 + 4' y^2}} \\ \{\tilde{S}\} = -\arctg \frac{2' \tilde{S}_n \tilde{S}}{\tilde{S}_n^2 - \tilde{S}^2} = -\arctg \frac{2' y}{1-y^2}. \end{cases}$$

M. Voicu, IA (VI)

C 10 (35)

3

Diagrama Bode

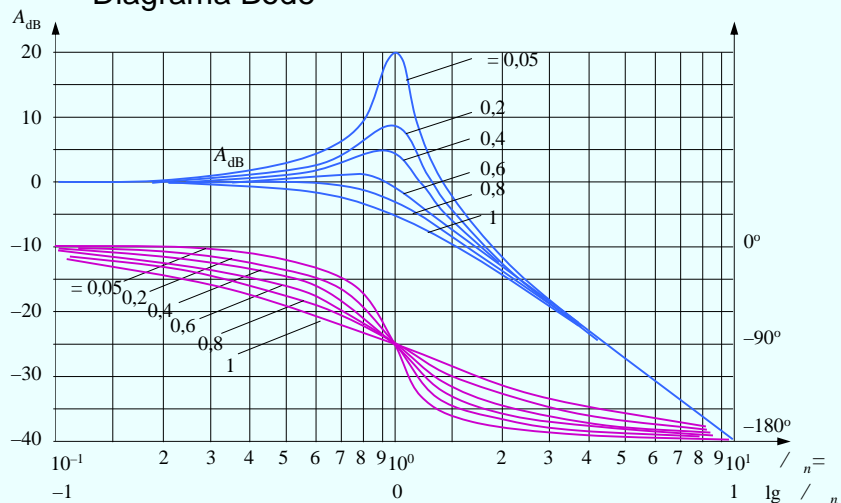


Fig.VI.8

M. Voicu, IA (VI)

C 10 (35)

4

Pentru $0 \leq \gamma < \frac{1}{\sqrt{2}}$, $\frac{dA_{dB}}{dy} = 0 \rightarrow A_{dB\max} = 20 \lg \left(2' \sqrt{1 - \gamma^2} \right)^{-1}$,

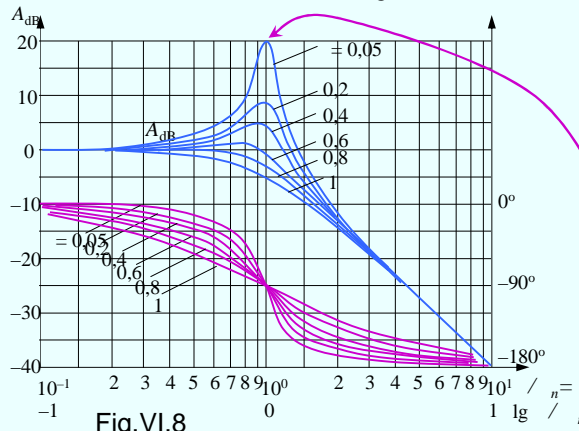


Fig.VI.8

la pulsa ia:

$$y_r = \sqrt{1 - 2'^2},$$

$$\check{S}_r = \check{S}_n \sqrt{1 - 2'^2} < \check{S}_n.$$

•Rezonan a

Intrarea are amplitud. 1 (0dB), iar ie iesirea are amplitudinea:

$$M_{\max}(\check{S}) = \left(2' \sqrt{1 - \gamma^2} \right)^{-1} > 1 \quad \text{sau} \quad A_{dB\max} = 20 \lg \left(2' \sqrt{1 - \gamma^2} \right)^{-1} > 0.$$

M. Voicu, IA (VI)

C 10 (35)

5

$$A_{dB}(\check{S}) = -20 \lg \sqrt{(1 - y^2)^2 + 4' y^2}. \quad (2.16)$$

Pentru $0 \leq \gamma < 1/\sqrt{2}$ exist **banda de rezonan** $(0, \sqrt{2}y_r)$

sau $(0, \check{S}_n \sqrt{2(1 - 2'^2)})$ pt. care $A_{dB}(\check{S}) > 0$.

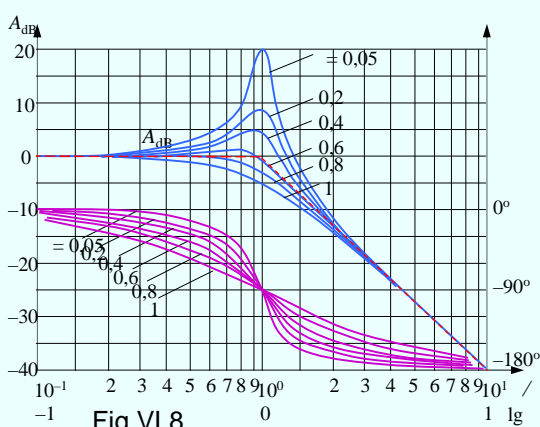


Fig.VI.8

$A_{dB}(\check{S})$ are două **asimptote**.

Pentru $\gamma \in [0,4, 0,8]$, din (2.16) rezultă :

$$A_{dB}(\check{S}) \cong \begin{cases} 0, & 0 \leq y \ll 1, \\ -40 \lg y, & 1 \ll y < +\infty. \end{cases}$$

Pulsa ia de frângere: $y = 1$ ($\check{S} = \check{S}_n$), $\lg y = 0$.

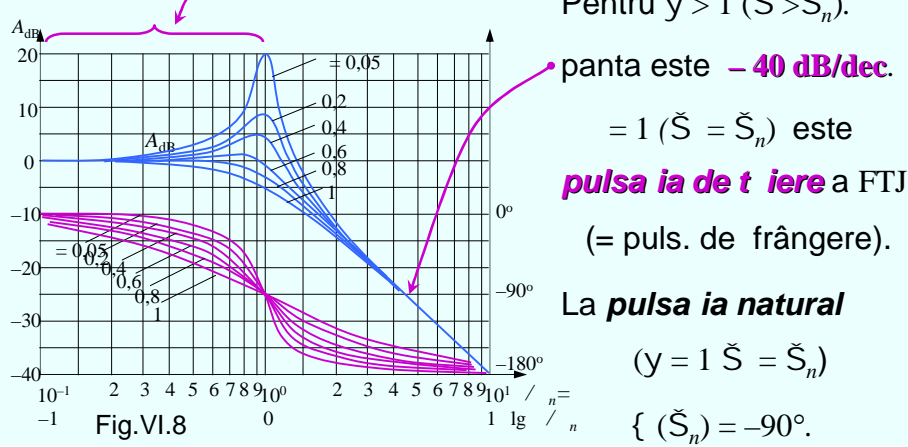
M. Voicu, IA (VI)

C 10 (35)

6

Elementul T_2 este un «filtru trece-jos» (FTJ)

$\in [0, 1] (\check{S} \in [0, \check{S}_n])$ – **banda de trecere** a FTJ.

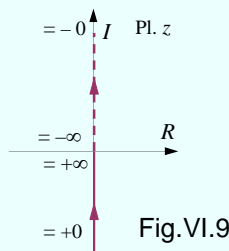


d) **Elementul integrator (I):** $G_I(s) = \frac{1}{T_I s}$.

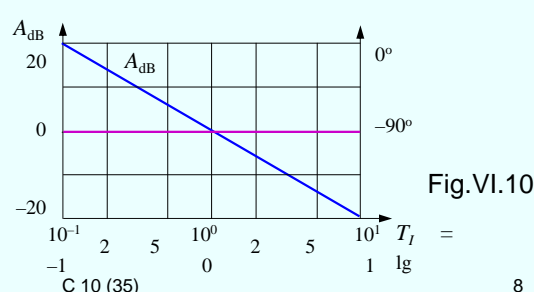
R spunsul la frecven : $G_I(j\check{S}) = \frac{1}{jT_I \check{S}} = \frac{1}{jY}$, $y = T_I \check{S}$,

Locul de transfer: $R(\check{S}) = 0$, $I(\check{S}) = -\frac{1}{T_I \check{S}} = -\frac{1}{y}$,

Diagrama Bode: $A_{dB}(\check{S}) = -20 \lg y$, $\{(\check{S}) = -90^\circ$.



M. Voicu, IA (VI)

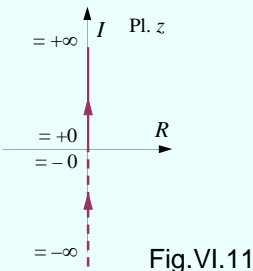


e) **Elementul derivator (D):** $G_D(s) = T_D s$.

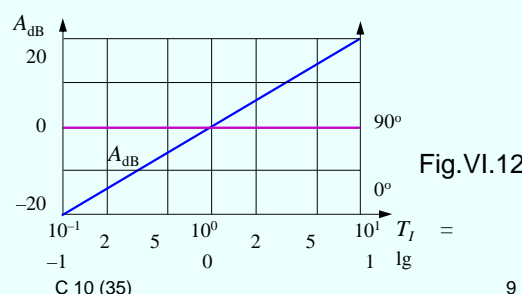
R spunsul la frecven : $G_D(j\tilde{S}) = jT_D \tilde{S} = jy$, $y = T_D \tilde{S}$,

Locul de transfer: $R(\tilde{S}) = 0$, $I(\tilde{S}) = T_D \tilde{S} = y$,

Diagrama Bode: $A_{dB} = 20 \lg T_D \tilde{S} = 20 \lg y$, $\{\tilde{S}\} = 90^\circ$.



M. Voicu, IA (VI)



9

2.4. Trasarea diagramei Bode prin linii aproximante

$|\lg G(j\tilde{S})|$ și $\{\tilde{S}\}$ pot fi approximate grafic prin linii frânte.

Exemplul 2.1

S se traseze diagrama Bode pentru $G(s) = \frac{10}{s} \cdot \frac{0,1s+1}{10s+1}$.

$$s = j\tilde{S} \Rightarrow G(j\tilde{S}) = \frac{10}{j\tilde{S}} \cdot \frac{1+j0,1\tilde{S}}{1+j10\tilde{S}},$$

$$|G(j\tilde{S})| = \frac{10}{\tilde{S}} \cdot \frac{\sqrt{1+(0,1\tilde{S})^2}}{\sqrt{1+(10\tilde{S})^2}}, \arg G(j\tilde{S}) = -90^\circ + \arctg(0,1\tilde{S}) - \arctg(10\tilde{S}).$$

$$\begin{cases} A_{dB}(\tilde{S}) = 20 \lg 10 - 20 \lg \tilde{S} + 20 \lg \sqrt{1+(0,1\tilde{S})^2} - 20 \lg \sqrt{1+(10\tilde{S})^2} \\ \{\tilde{S}\} = -90^\circ + \arctg 0,1\tilde{S} - \arctg 10\tilde{S}. \end{cases}$$

M. Voicu, IA (VI)

C 10 (35)

10

$$\begin{cases} A_{dB}(\tilde{S}) = 20\lg 10 - 20\lg \tilde{S} + 20\lg \sqrt{1+(0,1\tilde{S})^2} - 20\lg \sqrt{1+(10\tilde{S})^2} \\ \{\tilde{S}\} = -90^\circ + \arctg 0,1\tilde{S} - \arctg 10\tilde{S}. \end{cases}$$

$$20\lg \sqrt{1+(0,1\tilde{S})^2} \approx \begin{cases} 0, & \tilde{S} << 10^1, \\ 20\lg(0,1\tilde{S}), & \tilde{S} >> 10^1; \end{cases}$$

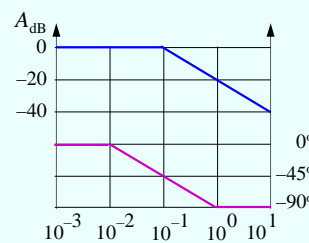
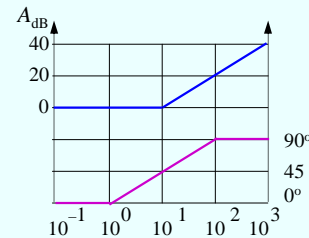
$$\arctg(0,1\tilde{S}) \approx \begin{cases} 0, & \tilde{S} < 10^\circ, \\ 45^\circ[\lg(0,1\tilde{S})+1], & 10^\circ \leq \tilde{S} \leq 10^2, \\ 90^\circ, & 10^2 < \tilde{S}. \end{cases}$$

$$-20\lg \sqrt{1+(10\tilde{S})^2} \approx \begin{cases} 0, & \tilde{S} << 10^{-1}, \\ -20\lg(10\tilde{S}), & \tilde{S} >> 10^{-1}; \end{cases}$$

$$-\arctg(10\tilde{S}) \approx \begin{cases} 0, & \tilde{S} < 10^{-2}, \\ -45^\circ[\lg(10\tilde{S})+1], & 10^{-2} \leq \tilde{S} \leq 10^0, \\ -90^\circ, & 10^0 < \tilde{S}. \end{cases}$$

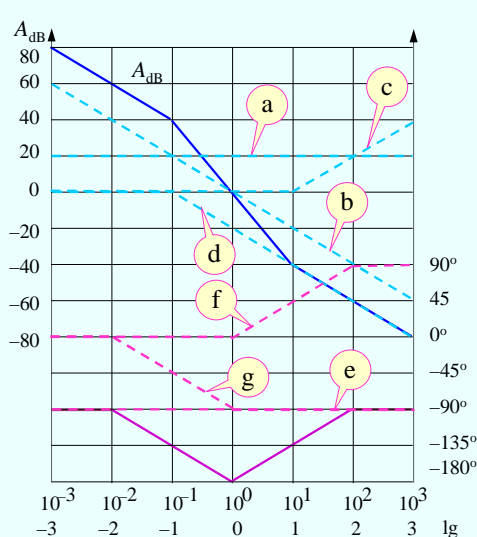
M. Voicu, IA (VI)

C 10 (35)



11

Diagrama Bode



$$\begin{cases} A_{dB}(\tilde{S}) = 20\lg 10 - 20\lg \tilde{S} + \\ + 20\lg \sqrt{1+(0,1\tilde{S})^2} - \\ - 20\lg \sqrt{1+(10\tilde{S})^2} \\ \{\tilde{S}\} = -90^\circ + \\ + \arctg 0,1\tilde{S} - \\ - \arctg 10\tilde{S} \end{cases}$$

Fig.VI.13

M. Voicu, IA (VI)

C 10 (35)

12

3. Principiul non-anticipării

3.1. Filtre ideale

$G(j\tilde{S})$ nu satisfac principiul non-anticipării.

De exemplu $G(j\tilde{S}) = 0$ pe anumite intervale ale lui \tilde{S} .

Conform definiției răspunsului la frecvență se scrie:

$$G(j\tilde{S}) = M(\tilde{S})e^{j\zeta(\tilde{S})},$$

$$M(\tilde{S}) = |G(j\tilde{S})|, \quad \{\tilde{S}\} = \arg G(j\tilde{S}).$$

Răspunsul la frecvență $G(j\tilde{S}) = R(\tilde{S}) + jI(\tilde{S})$ satisfacă:

$$G(-j\tilde{S}) = \overline{G(j\tilde{S})} = R(\tilde{S}) - jI(\tilde{S}),$$

$$R(-\tilde{S}) = R(\tilde{S}), I(-\tilde{S}) = -I(\tilde{S}),$$

$$M(>\tilde{S}) \neq M(\tilde{S}), \quad \{(>\tilde{S})\} \neq \{\tilde{S}\}.$$

M. Voicu, IA (VI)

C 10 (35)

13

a. Elementul cu timp mort

$$G(j\tilde{S}) = M(\tilde{S})e^{j\zeta(\tilde{S})}. \quad (3.1)$$

Definirea 1

Sistemul dinamic (3.1) are o **comportare ideală** dacă :

$$M(\tilde{S}) = M_0 = \text{const.} > 0, \quad (3.6)$$

$$\{\tilde{S}\} = -T\tilde{S}, \quad T = \text{const.} \geq 0. \quad (3.7)$$

Abaterile față de (3.6) și sau (3.7) reprezintă **distorziuni**. ■

Din (3.1) și (3.6), (3.7) rezultă :

$$G(j\tilde{S}) = M_0 e^{-jT\tilde{S}}. \quad (3.8)$$

Transf. intrare-ieșire:

$$Y(j\tilde{S}) = M_0 e^{-jT\tilde{S}} U(j\tilde{S}), \quad (3.9)$$

$$y(t) = M_0 u(t - T). \quad (3.10)$$

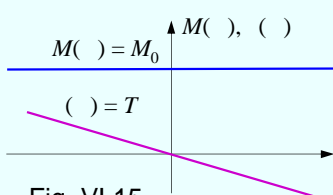


Fig. VI.15

M. Voicu, IA (VI)

C 10 (35)

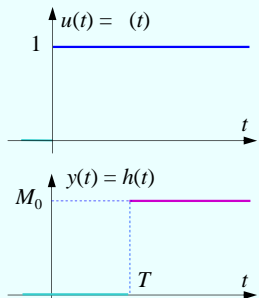
14

$u(t) = u(t)$, \Leftrightarrow r spunsul la impulsul Dirac :

$$g(t) = M_0 u(t - T). \quad (3.11)$$

$u(t) = \delta(t)$, \Leftrightarrow r spunsul indicial (fig.VI.16) :

$$h(t) = M_0 \delta(t - T). \quad (3.12)$$



Forma (ideal) (3.12) – un deziderat:

se dore te ca $y(t)$ s fie ca $u(t)$,

$T \geq 0$ fiind durata propag rii lui $u(t)$.

Astfel de elem. exist în procesele de:

➤ transport de substan ,

➤ transfer de energie,

➤ propagare de semnale.

Fig. VI.16

M. Voicu, IA (VI)

C 10 (35)

15

$$y(t) = M_0 u(t - T). \quad (3.10)$$

Defini ia 2

(3.10) se nume te **sistem (element) cu timp mort**. ■

Func ia de transfer a sistemului (3.10) este:

$$G(s) = M_0 e^{-Ts}; \quad T \geq 0 - \text{timpul mort}.$$

b. Filtre ideale f r distorsiuni de faz

Defini ia 3

Un sistem în care:

$$\begin{cases} M(\tilde{S}) \neq \text{constant}, \\ \zeta(\tilde{S}) = -T\tilde{S}, \end{cases} \Rightarrow G(j\tilde{S}) = M(\tilde{S})e^{-jT\tilde{S}},$$

se nume te **filtru ideal f r distorsiuni de faz** . ■

M. Voicu, IA (VI)

C 10 (35)

16

Pentru $M(\check{S})$ absolut integrabil există un original

$$m(t) = \mathcal{F}^{-1}\{M(\check{S})\}.$$

$M(\check{S})$ este real și par; rezultă că și $m(t)$ este real și par:

$$m(-t) = m(t),$$

$$\begin{aligned} m(t) &= \frac{1}{2} \int_{-\infty}^{+\infty} M(\check{S}) e^{j\check{S}t} d\check{S} = \frac{1}{2} \int_{-\infty}^{+\infty} M(\check{S}) [\cos \check{S}t + j \sin \check{S}t] d\check{S} = \\ &= \frac{1}{2} \int_{-\infty}^{+\infty} M(\check{S}) \cos \check{S}t d\check{S} + j \frac{1}{2} \underbrace{\int_{-\infty}^{+\infty} M(\check{S}) \sin \check{S}t d\check{S}}_{=0} = \\ &= \frac{1}{2} \int_0^{+\infty} M(\check{S}) \cos \check{S}t d\check{S}. \end{aligned}$$

Aplicând teorema translată originalului în $G(j\check{S}) = M(\check{S})e^{-jT\check{S}}$, rezultă

$$g(t) = m(t-T) = \frac{1}{2} \int_0^{+\infty} M(\check{S}) \cos \check{S}(t-T) d\check{S}, \quad t \in \mathbf{R}$$

b1. Filtre ideale «trece-jos»

Definiția 4

Rezultă din spusul la frecvență

$$G(j\check{S}) = M(\check{S})e^{-jT\check{S}},$$

al unui **fizică ideală «trece-jos»** (FITJ) se definește prin

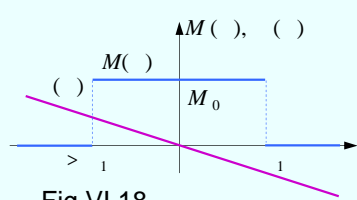


Fig.VI.18

$$M(\check{S}) = \begin{cases} M_0, & \check{S} \in [-\check{S}_1, \check{S}_1] \\ 0, & \check{S} \in (-\infty, -\check{S}_1) \cup (\check{S}_1, +\infty). \end{cases}$$

$[-\check{S}_1, \check{S}_1]$ este **banda de trecere**. \check{S}_1 este **pulsă ia de tare**. ■

$$g(t) = \frac{1}{2} \int_0^{+\infty} M(\tilde{S}) \cos \tilde{S}(t-T) d\tilde{S} = \frac{1}{2} M_0 \int_0^{\tilde{S}_1} \cos \tilde{S}(t-T) d\tilde{S},$$

$$g(T) = \frac{1}{2} M_0 \int_0^{\tilde{S}_1} d\tilde{S} = \frac{1}{2} M_0 \tilde{S}_1 \geq 0, \quad |g(t)| \leq g_{\max} = g(T).$$

$$h(t) = \int_0^t g(t) dt, \quad h'(t) = g(t), \quad h'_{\max} = \max_{t>0} h'(t) = h'(T) = g(T).$$

Măsură rapiditatea și puncta maximă normalată a reacției indiciale:

$$h'_{\max}/M_0 = h'(T)/M_0 = g(T)/M_0 = \tilde{S}_1 / \pi.$$

Rapiditatea este proporțională cu banda de trecere a FITJ.

Rapiditatea este invers proporțională cu durata de creștere t_c .

Concluzie: t_c este invers proporțională cu banda de trecere a FITJ.

Aceasta este o regulă generală pentru filtrele «trece-jos».

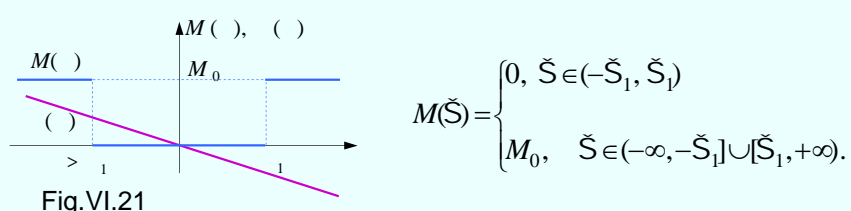
b2. Filtre ideale «trece-sus»

Definiția 5

Rezultatul la frecvență

$$G(j\tilde{S}) = M(\tilde{S})e^{-jT\tilde{S}},$$

al unui **fizică ideală «trece-sus»** (FITS) se definește prin



$(-\tilde{S}_1, \tilde{S}_1)$ este **banda de blocare**. \tilde{S}_1 este **pulsă ia de trecere**. ■

b3. Filtre ideale «trece-band »

Definiția 5

Răspunsul la frecvență este

$$G(j\tilde{S}) = M(\tilde{S})e^{-jT\tilde{S}},$$

al unui **filtre ideal «trece-band »** (FITB) se definește prin (fig.VI.23.a):

$$M(\tilde{S}) = \begin{cases} M_0, & \tilde{S} \in [-\tilde{S}_2, -\tilde{S}_1] \cup [\tilde{S}_1, \tilde{S}_2] \\ 0, & \tilde{S} \in (-\infty, -\tilde{S}_2) \cup (-\tilde{S}_1, \tilde{S}_1) \cup (\tilde{S}_2, +\infty), \end{cases}$$

$[-\tilde{S}_2, -\tilde{S}_1], [\tilde{S}_1, \tilde{S}_2]$ sunt **benzile de trecere**. ■

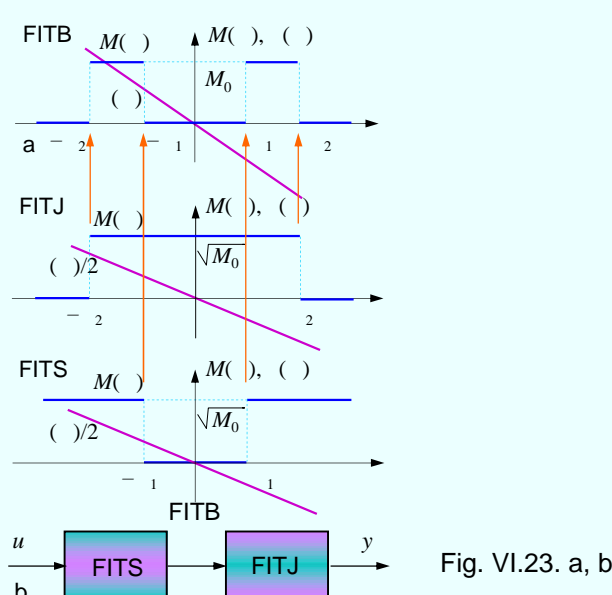


Fig. VI.23. a, b

b4. Filtre ideale «opre te-band »

Defini ia 6

R spunsul la frecven

$$G(j\tilde{S}) = M(\tilde{S})e^{-jT\tilde{S}},$$

al unui **filtru ideal «opre te-band »** (FIOB) se define te prin (fig. VI.23.c):

$$M(\tilde{S}) = \begin{cases} M_0, & \tilde{S} \in (-\infty, -\tilde{S}_2] \cup [-\tilde{S}_1, \tilde{S}_1] \cup [\tilde{S}_2, +\infty) \\ 0, & \tilde{S} \in (-\tilde{S}_2, -\tilde{S}_1) \cup (\tilde{S}_1, \tilde{S}_2) \end{cases}.$$

$(-\tilde{S}_2, -\tilde{S}_1), (\tilde{S}_1, \tilde{S}_2)$ sunt **benzile de blocare**. ■

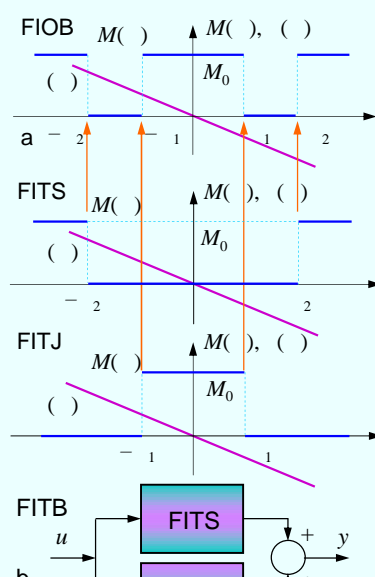


Fig. VI.23. c, d

3.2. Sisteme dinamice realiste

Răspunsul la frecvență al filtrelor reale prezintă **distorsiuni** de amplitudine și de fază.

Exemplul 3.2

Cel mai simplu filtru electric «trece-jos» – fig.VI.24.a.

Transferul intrare – ieșire în tensiuni:

$$G(s) = \frac{1}{Ts+1}, s = j\tilde{S} \rightarrow M(\tilde{S}) = \frac{1}{\sqrt{T^2\tilde{S}^2+1}}, \tilde{S}_1 = 1/T; M(\tilde{S}_1) = 1/\sqrt{2} = 0,707.$$

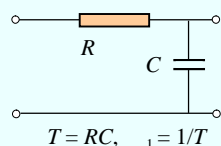
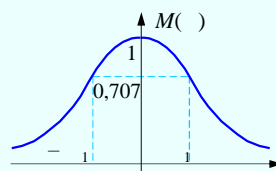


Fig.VI.24. a



\tilde{S}_1 este **pulsă ia de tare**, în sensul FTJ real.

M. Voicu, IA (VI)

C 10 (35)

25

Exemplul 3.3

Cel mai simplu filtru electric «trece-sus» – fig.VI.24.b.

Transferul intrare – ieșire în tensiuni:

$$G(s) = \frac{Ts}{Ts+1}, s = j\tilde{S} \rightarrow M(\tilde{S}) = \frac{T\tilde{S}}{\sqrt{T^2\tilde{S}^2+1}}, \tilde{S}_2 = 1/T;$$

$$M(\tilde{S}_2) = M(\infty)/\sqrt{2} = 1/\sqrt{2} = 0,707.$$

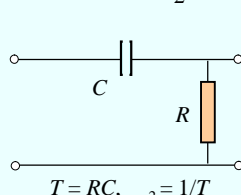
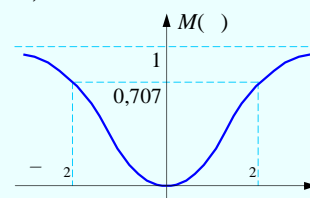


Fig.VI.24. b



\tilde{S}_2 este **pulsă ia de tare**, în sensul FTS real.

M. Voicu, IA (VI)

C 10 (35)

26

Exemplul 3.4

Filtru «trece-band»; se conectează în cascad două filtre: unul «trece-jos» și unul «trece-sus» – fig.VI.24.c; A – amplif.

$$G(s) = \frac{1}{(T_2 s + 1)} \cdot \frac{T_1 s}{(T_1 s + 1)} = \frac{T_1 s}{(T_1 s + 1)(T_2 s + 1)}, \quad T_1 > T_2.$$

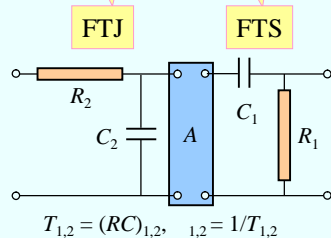
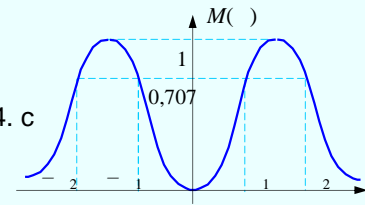


Fig.VI.24. c



$$M(\tilde{S}) = \frac{T_1 \tilde{S}}{\sqrt{(T_1^2 \tilde{S}^2 + 1)(T_2^2 \tilde{S}^2 + 1)}}, \quad \tilde{S}_1 < \tilde{S}_2.$$

M. Voicu, IA (VI)

C 10 (35)

27

Exemplul 3.5

Filtru «opere band»: se conectează în paralel două filtre: unul «trece-jos» și unul «trece-sus» – fig.VI.24.d; A_{dl} – amplif.

$$G(s) = \frac{1}{T_1 s + 1} + \frac{T_2 s}{T_2 s + 1} = \frac{T_1 T_2 s^2 + 2T_2 s + 1}{(T_1 s + 1)(T_2 s + 1)}, \quad T_1 > T_2.$$

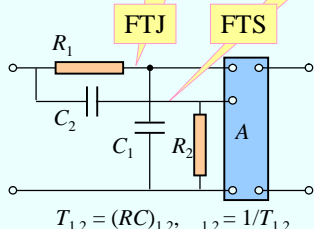
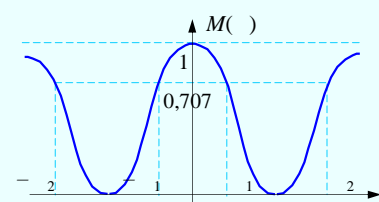


Fig.VI.24, d



$$M(\tilde{S}) = \frac{\sqrt{[1 - (T_1 T_2 \tilde{S})^2]^2 + 4 T_2^2 \tilde{S}^2}}{\sqrt{(T_1^2 \tilde{S}^2 + 1)(T_2^2 \tilde{S}^2 + 1)}}, \quad \tilde{S}_1 < \tilde{S}_2.$$

M. Voicu, IA (VI)

C 10 (35)

28

Observa ia 3.1

Filtrele de la ex. 3.2 – 3.5 au elemente de circuit ideale.

Elementele de circuit reale con in parametri suplimentari.

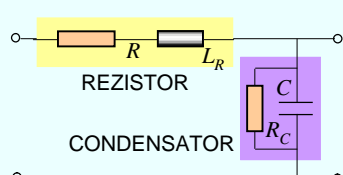


Fig.VI.25

Un rezistor, pe lâng rezisten a R , are i inductan a L_R .

Un condensator, pe lâng capacitatea C , are i rezisten a de pierderi R_C .

Prin urmare, un FTJ real are de fapt schema din fig.VI.25.

Dac $L_R \approx 0$ i $1/R_C \approx 0$, ele se negligeaz , pe intervale de frecven precizabile; rezult schema din fig.VI.24.a.■

Defini ia 8

Un sistem dinamic (real sau abstract) se nume te **realist** dac satisface **principiul non-anticip** rii:

r spunsul (ie irea) nu precede în timp excita ia (intrarea).■

Aceast proprietate se exprim cu ajutorul lui $g(t)$ prin:

$$g(t) \equiv 0, \quad t < 0. \quad (\text{vezi II.3.2.a})$$

Observa ia 3.2

Sistem realist nu este sinonim cu **sistem fizic realizabil**.

Se spune c un sistem abstract este *fizic realizabil* dac el este concretizabil ca sistem real.

Evident, este posibil ca un sistem abstract *realist* s nu fie *fizic realizabil*.■

Teorema 1

Un sist. din. lin. realist este complet caracterizabil fie de partea par , fie de partea impar a r spunsului la impuls. ■

\mathcal{D} . Cu $g_p(t)$, $g_i(t)$, p rile par i impar ale lui $g(t)$ se scrie:

$$g(t) = g_p(t) + g_i(t), \quad t \in \mathbf{R}.$$

$$g_p(t) + g_i(t) \equiv 0, \quad t < 0,$$

$$g_p(-t) + g_i(-t) \equiv 0, \quad t > 0.$$

$$g_p(t) - g_i(t) \equiv 0, \quad t > 0.$$

$$g_p(t) \equiv g_i(t), \quad t > 0.$$

$$g(t) = g_p(t) + g_i(t) = \begin{cases} 0, & t < 0, \\ 2g_p(t) \equiv 2g_i(t), & t > 0. \end{cases}$$

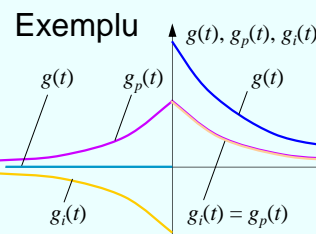


Fig.VI.26

M. Voicu, IA (VI)

C 10 (35)

31

Teorema 2

$g(t)$ al unui sist. dinamic liniar realist este complet determinat fie de partea real , fie de partea imaginara a lui $G(j\tilde{S})$. ■

\mathcal{D} . Pentru $g(t) = g_p(t) + g_i(t)$ i $G(j\tilde{S}) = R(\tilde{S}) + jI(\tilde{S}) = \mathcal{F}\{g(t)\}$, se pot scrie rela iile:

$$\begin{aligned} G(j\tilde{S}) &= R(\tilde{S}) + jI(\tilde{S}) = \int_{-\infty}^{+\infty} [g_p(t) + g_i(t)] e^{-j\tilde{S}t} dt = \\ &= \int_{-\infty}^{+\infty} [g_p(t) + g_i(t)] [\cos \tilde{S}t - j \sin \tilde{S}t] dt = \\ &= \int_{-\infty}^{+\infty} g_p(t) \cos \tilde{S}t dt - j \underbrace{\int_{-\infty}^{+\infty} g_p(t) \sin \tilde{S}t dt}_{=0} + \underbrace{\int_{-\infty}^{+\infty} g_i(t) \cos \tilde{S}t dt}_{=0} - j \int_{-\infty}^{+\infty} g_i(t) \sin \tilde{S}t dt. \\ G(j\tilde{S}) &= R(\tilde{S}) + jI(\tilde{S}) = \int_{-\infty}^{+\infty} g_p(t) \cos \tilde{S}t dt + \int_{-\infty}^{+\infty} g_i(t) (-j) \sin \tilde{S}t dt. \end{aligned}$$

M. Voicu, IA (VI)

C 10 (35)

32

Din

$$R(\check{S}) = \int_{-\infty}^{+\infty} g_p(t) (\cos \check{S}t - j \sin \check{S}t) dt = \int_{-\infty}^{+\infty} g_p(t) e^{-j\check{S}t} dt = \mathcal{F}\{g_p(t)\},$$

$$jI(\check{S}) = \int_{-\infty}^{+\infty} g_i(t) (-j \sin \check{S}t + \cos \check{S}t) dt = \int_{-\infty}^{+\infty} g_i(t) e^{j\check{S}t} dt = \mathcal{F}\{g_i(t)\},$$

se obine:

$$g_p(t) = \mathcal{F}^{-1}\{R(\check{S})\} = \frac{1}{2} \int_{-\infty}^{+\infty} R(\check{S}) e^{j\check{S}t} d\check{S},$$

$$g_i(t) = \mathcal{F}^{-1}\{jI(\check{S})\} = \frac{1}{2} \int_{-\infty}^{+\infty} jI(\check{S}) e^{j\check{S}t} d\check{S}.$$

Folosind

$$g_p(t) = \frac{1}{2} \int_{-\infty}^{+\infty} R(\check{S}) e^{j\check{S}t} d\check{S},$$

$$g_i(t) = \frac{1}{2} \int_{-\infty}^{+\infty} jI(\check{S}) e^{j\check{S}t} d\check{S}.$$

înănd seama de

$$g(t) = g_p(t) + g_i(t) = \begin{cases} 0, & t < 0, \\ 2g_p(t) \equiv 2g_i(t), & t > 0. \end{cases}$$

se obine:

$$g(t) = \begin{cases} 0, & t < 0 \\ \frac{1}{2} \int_{-\infty}^{+\infty} R(\check{S}) e^{j\check{S}t} d\check{S} \equiv \frac{1}{2} \int_{-\infty}^{+\infty} jI(\check{S}) e^{j\check{S}t} d\check{S}, & t > 0. \end{cases}$$

■

$$\text{Din } g(t) = \begin{cases} 0 & , t < 0, \\ \frac{1}{j} \int_{-\infty}^{+\infty} R(\tilde{S}) e^{j\tilde{S}t} d\tilde{S} \equiv \frac{1}{j} \int_{-\infty}^{+\infty} jI(\tilde{S}) e^{j\tilde{S}t} d\tilde{S}, & t > 0, \end{cases}$$

$$\int_{-\infty}^{+\infty} R(\tilde{S}) e^{j\tilde{S}t} d\tilde{S} \underset{\cos \tilde{S}}{\underset{t+j\sin \tilde{S}}{\approx}} \int_{-\infty}^{+\infty} jI(\tilde{S}) e^{j\tilde{S}t} d\tilde{S}, \quad t > 0,$$

se obine

$$\begin{aligned} & \left(\int_{-\infty}^{+\infty} R(\tilde{S}) \cos \tilde{S} t d\tilde{S} + \int_{-\infty}^{+\infty} R(\tilde{S}) j \sin \tilde{S} t d\tilde{S} \right) \underset{=0}{=} \underset{=0}{=} \\ & \equiv \left(\int_{-\infty}^{+\infty} jI(\tilde{S}) \cos \tilde{S} t d\tilde{S} + \int_{-\infty}^{+\infty} jI(\tilde{S}) j \sin \tilde{S} t d\tilde{S} \right), \end{aligned}$$

$$2 \int_0^{+\infty} R(\tilde{S}) \cos \tilde{S} t d\tilde{S} \underset{= -2 \int_0^{+\infty} I(\tilde{S}) \sin \tilde{S} t d\tilde{S}}{\approx}$$

$$\int_0^{+\infty} [R(\tilde{S}) \cos \tilde{S} t + I(\tilde{S}) \sin \tilde{S} t] d\tilde{S} = 0, \quad t > 0.$$